

УДК 532.5:532.517.4

ВЛИЯНИЕ КОЛЕБАТЕЛЬНОГО ВОЗБУЖДЕНИЯ ГАЗА НА ПОЛОЖЕНИЕ ЗОНЫ ЛАМИНАРНО-ТУРБУЛЕНТНОГО ПЕРЕХОДА НА ПЛАСТИНЕ

Ю. Н. Григорьев*, И. В. Ершов*,**

* Институт вычислительных технологий СО РАН, 630090 Новосибирск, Россия

** Новосибирский государственный аграрный университет, 630039 Новосибирск, Россия

E-mails: grigor@ict.nsc.ru, i_ershov@ngs.ru

С использованием e^N -метода для двух распространенных режимов течения сверхзвукового пограничного слоя при значении числа Маха $M = 4,5$ исследовано влияние термической неравновесности на ламинарно-турбулентный переход. Набор актуальных частот пространственных возмущений определялся по нейтральным кривым для временных возмущений. Для выбранных частот рассчитывались семейства кривых N -факторов, по огибающим которых при заданном факторе перехода N_T определялось число Рейнольдса перехода $Re_{\delta T}$. Результаты расчетов показывают, что при $N_T = 8$ и уровне колебательного возбуждения, при котором не происходит диссоциация, зона перехода сдвигается вниз по потоку на 12–14 % относительно зоны перехода в совершенном газе.

Ключевые слова: e^N -метод, колебательное возбуждение, линейная устойчивость, ламинарно-турбулентный переход, интегральные кривые N -факторов.

DOI: 10.15372/PMTF20210102

Введение. В работах [1, 2] в рамках линейной теории устойчивости показано, что при колебательном возбуждении значение критического числа Рейнольдса для пограничного слоя на пластине увеличивается приблизительно на 10–12 %. Вместе с тем представляет интерес исследование воздействия колебательной неравновесности на положение зоны ламинарно-турбулентного перехода (ЛТП). Соответствующую оценку можно получить с помощью e^N -метода, основанного на представлении об экспоненциальном нарастании до определенного уровня амплитуды A_T пространственных возмущений, рассчитываемых на основе линейной теории [3, 4] в соответствии с соотношением

$$A_T = A_0 e^{N_T}.$$

Здесь A_0 — амплитуда начального возмущения; A_T — амплитуда в точке ЛТП; N_T — N -фактор перехода, значение которого зависит от конкретной задачи.

В настоящей работе рассчитывается положение зоны ЛТП для двух режимов при значении числа Маха $M = 4,5$. В качестве наиболее опасного рассматривалось двумерное возмущение моды II в направлении, совпадающем с направлением несущего потока.

Работа выполнена при финансовой поддержке Российского фонда фундаментальных исследований (код проекта 20-01-00168а).

Значение показателя степени нарастания возмущений выбрано равным $N = 8$. В отличие от работ [1, 2] стационарное течение в пограничном слое описывалось локально-автомодельными решениями, использование которых обосновано в [5].

1. Основные уравнения и метод решения задачи. В качестве исходной математической модели используется система уравнений двухтемпературной газовой динамики вязкого теплопроводного газа [6]. В рамках линейной теории устойчивости рассматривается развитие двумерных возмущений при обтекании колебательно-возбужденным газом плоской полубесконечной пластины. Начало декартовой системы координат (x, y) совпадает с носиком пластины, ось x ориентирована вдоль пластины в направлении невозмущенного потока, ось y является внешней нормалью к пластине.

В качестве характерных величин для обезразмеривания выбраны текущее расстояние $x = L$ вдоль пластины и параметры невозмущенного потока вне пограничного слоя: скорость U_∞ , плотность ρ_∞ , температура T_∞ , коэффициенты сдвиговой η_∞ и объемной $\eta_{b\infty}$ вязкостей, коэффициент теплопроводности, обусловленный переносом энергии в поступательных и вращательных степенях свободы $k_\infty = k_{t\infty} + k_{r\infty}$, коэффициент теплопроводности, описывающий диффузионный перенос энергии колебательных квантов $k_{v\infty}$. Для обезразмеривания давления и времени используются комбинированные величины $\rho_\infty U_\infty^2$, L/U_∞ соответственно.

Для рассматриваемой задачи система линеаризовалась на стационарном решении уравнений пограничного слоя в локально-параллельном приближении. Исследовались двумерные возмущения типа бегущих плоских волн:

$$q(x, y, t) = q(y) e^{i(\alpha x - \omega t)}, \quad q(y) = (u, \alpha, v, \rho, \theta, \theta_v, p), \quad (1)$$

где в общем случае $\alpha = \alpha_r + i\alpha_i$ — комплексное волновое число вдоль переменной x ; $\omega = \omega_r + i\omega_i$ — комплексная частота; i — мнимая единица.

Подставляя (1) в обезразмеренную линеаризованную систему, получаем систему уравнений для амплитуд двумерных возмущений в следующем виде:

$$D\rho + \alpha \rho_s \sigma + \alpha v \frac{d\rho_s}{dy} = 0; \quad (2)$$

$$\begin{aligned} \frac{\mu_s}{\text{Re}} \Delta u - \rho_s D u - \alpha \rho_s v \frac{dU_s}{dy} - i\alpha \varepsilon + \\ + \frac{\mu_{T,s}}{\text{Re}} \frac{dT_s}{dy} \left(\frac{du}{dy} + i\alpha^2 v \right) + \frac{\theta}{\text{Re}} \frac{d}{dy} \left(\mu_{T,s} \frac{dU_s}{dy} \right) + \frac{\mu_{T,s}}{\text{Re}} \frac{dU_s}{dy} \frac{d\theta}{dy} = 0; \end{aligned} \quad (3)$$

$$\frac{\alpha \mu_s}{\text{Re}} \Delta v - \alpha \rho_s D v - \frac{d\varepsilon}{dy} + \frac{\alpha \mu_{T,s}}{\text{Re}} \frac{dT_s}{dy} \left(\frac{dv}{dy} - iu \right) + \frac{i\alpha \mu_{T,s}}{\text{Re}} \frac{dU_s}{dy} \theta = 0; \quad (4)$$

$$\begin{aligned} \frac{\gamma k_s}{\text{Re Pr}} \Delta \theta - \rho_s D \theta - \alpha \rho_s \frac{dT_s}{dy} v - \alpha(\gamma - 1)\sigma + \frac{2\gamma(\gamma - 1)\mu_s M^2}{\text{Re}} \frac{dU_s}{dy} \left(\frac{du}{dy} + i\alpha^2 v \right) + \\ + \left[\frac{\gamma}{\text{Re Pr}} \frac{d}{dy} \left(k_{T,s} \frac{dT_s}{dy} \right) + \frac{\gamma(\gamma - 1) M^2 \mu_{T,s}}{\text{Re}} \left(\frac{dU_s}{dy} \right)^2 \right] \theta - \\ - \frac{\gamma_v \rho (T_s - T_{vs})}{\tau} - \frac{\gamma_v \rho_s (\theta - \theta_v)}{\tau} + \frac{2\gamma k_{T,s}}{\text{Re Pr}} \frac{dT_s}{dy} \frac{d\theta}{dy} = 0; \end{aligned} \quad (5)$$

$$\begin{aligned} \frac{\gamma \mu_2 k_{v,s}}{\text{Re Pr}} \Delta \theta_v - \gamma_v \rho_s D \theta_v - \alpha \gamma_v \rho_s v \frac{dT_{vs}}{dy} + \frac{\gamma_v \rho (T_s - T_{vs})}{\tau} + \frac{\gamma_v \rho_s (\theta - \theta_v)}{\tau} + \\ + \frac{\gamma \mu_2}{\text{Re Pr}} \frac{d}{dy} \left(k_{vT,s} \frac{dT_{vs}}{dy} \right) \theta + \frac{\gamma \mu_2 k_{vT,s}}{\text{Re Pr}} \left(\frac{d\theta}{dy} \frac{dT_{vs}}{dy} + \frac{d\theta_v}{dy} \frac{dT_s}{dy} \right) = 0; \end{aligned} \quad (6)$$

$$\begin{aligned} \gamma M^2 p &= \rho_s \theta + T_s \rho; \\ D &= i(\alpha U_s - \omega), \quad \sigma = iu + \frac{dv}{dy}, \quad \varepsilon = p - \frac{\alpha \mu_s}{\text{Re}} \left(\mu_1 + \frac{1}{3} \right) \sigma, \quad \Delta = \frac{d^2}{dy^2} - \alpha^2, \\ \mu_{T,s} &= \left. \frac{d\mu}{dT} \right|_{T=T_s}, \quad k_{T,s} = \left. \frac{dk}{dT} \right|_{T=T_s}, \quad k_{vT,s} = \left. \frac{dk_v}{dT} \right|_{T=T_s} \end{aligned} \quad (7)$$

(индекс s соответствует значениям гидродинамических переменных в стационарном течении).

Следует отметить, что соотношение ε , содержащее параметр $\mu_1 = \mu_{b\infty}/\mu_\infty$ (объемную вязкость), исключается из системы. Для этого достаточно уравнение (3) продифференцировать по y , уравнение (4) умножить на $i\alpha$ и вычесть полученные уравнения одно из другого. Отсюда следует, что объемная вязкость не оказывает влияния на линейную устойчивость течения в пограничном слое.

Коэффициенты и параметры, входящие в уравнения (2)–(7), определяются следующим образом. Для задания зависимости коэффициента сдвиговой вязкости от температуры $\mu(T)$ используется формула Сазерленда. Коэффициенты теплопроводности в (4), (5) выражены через коэффициент сдвиговой вязкости с помощью полуэмпирических соотношений Эйкена [6]

$$k(T) = k_t(T) + k_r(T), \quad k_t(T) = \frac{5}{2} c_{Vt} \mu(T), \quad k_r(T) = \frac{6}{5} c_{Vr} \mu(T), \quad k_v(T) = \frac{6}{5} c_{Vv} \mu(T), \quad (8)$$

где c_{Vt} , c_{Vr} , c_{Vv} — удельные теплоемкости при постоянном объеме, обусловленные поступательным, вращательным и колебательным движениями молекул соответственно. Полагается, что коэффициенты теплоемкости постоянны, а поступательные и вращательные степени свободы молекул находятся в состоянии квазиравновесия. При этом имеет место равномерное распределение энергии по степеням свободы, и соответствующие теплоемкости определяются соотношениями $c_{Vt\infty} = 3R/2$, $c_{Vr\infty} = R$ (R — газовая постоянная).

В системе (2)–(7) коэффициент $\gamma = c_{p\infty}/c_{V\infty}$ представляет собой показатель адиабаты, $c_{V\infty} = c_{Vt\infty} + c_{Vr\infty}$, $c_{p\infty} = c_{V\infty} + R$ — соответственно удельные теплоемкости при постоянных объеме и давлении; коэффициент $\gamma_v = c_{Vv\infty}/(c_{Vt\infty} + c_{Vr\infty}) = c_{Vv\infty}/c_{V\infty}$ характеризует степень неравновесности колебательной степени свободы; τ — характерное время релаксации последней; критерии $\text{Re} = \rho_\infty U_\infty L/\mu_\infty$, $M = U_\infty/\sqrt{\gamma R T_\infty}$, $\text{Pr} = c_{V\infty} \mu_\infty/k_\infty$ — соответственно числа Рейнольдса, Маха и Прандтля невозмущенного потока; $\mu_2 = k_{v\infty}/(k_{t\infty} + k_{r\infty})$. С использованием соотношений (8) выражение для параметра μ_2 записывается в виде

$$\mu_2 = \frac{k_{v\infty}}{k_{t\infty} + k_{r\infty}} = \frac{12\gamma_v(c_{Vt\infty} + c_{Vr\infty})}{25c_{Vt\infty} + 12c_{Vr\infty}} = \frac{20\gamma_v}{33}.$$

В предположении, что при $y = 0$ и на условной верхней границе пограничного слоя $y = \delta$ амплитуды всех возмущений обращаются в нуль, рассматривались две спектральные задачи. При $\alpha = \alpha_T$, $\omega = \omega_r + i\omega_i$ рассчитывались собственные значения для возмущений, развивающихся во времени, а при $\alpha = \alpha_r + i\alpha_i$, $\omega = \omega_S$ — спектры пространственных возмущений.

В качестве профилей стационарного течения в системе (2)–(7) использовались локально-автомодельные решения уравнений пограничного слоя. Соответствующая система уравнений имеет вид

$$\begin{aligned} \left(\frac{\mu_s}{T_s} \varphi''(\zeta) \right)' + \varphi \varphi'' &= 0, \\ \gamma \left(\frac{\mu_s}{T_s} T_s' \right)' + \frac{(\gamma - 1)\mu_s}{4T_s} \text{Pr} M^2 \varphi''^2 + \text{Pr} \varphi T_s' + \frac{4\xi\gamma_v \text{Pr}}{\tau} (T_{vs} - T_s) &= 0, \end{aligned} \quad (9)$$

$$\frac{20\gamma}{33} \left(\frac{\mu_s}{T_s} T'_{vs} \right)' + \text{Pr} \varphi T'_{vs} - \frac{4\xi \text{Pr}}{\tau} (T_{vs} - T_s) = 0.$$

Здесь штрих обозначает дифференцирование по автомодельной переменной,

$$\zeta = \frac{\eta}{2\sqrt{\xi}}, \quad \eta = \int_0^y \rho dy, \quad \xi \equiv x,$$

вспомогательная функция $\varphi(\zeta)$ определена следующим образом:

$$\varphi(\zeta) = 2 \int_0^\zeta U_s(\zeta) d\zeta.$$

По аналогии с [1] в расчетах для совершенного газа использовались автомодельные решения Дородницына — Хоурта.

В [5] для потока вне пограничного слоя рассматривался набор условий, соответствующих двум аэродинамическим ситуациям: 1) сверхзвуковой полет в невозмущенной атмосфере; 2) поток в сверхзвуковой аэродинамической трубе. Для температур на поверхности ставились условия адиабатичности или изотермичности с вариантами обмена колебательными квантами. Во всех случаях показано, что с увеличением координаты $\xi \equiv x$ локально-автомодельные профили сходятся к некоторым предельным, которые приближают соответствующие профили развитого пограничного слоя, рассчитанные с помощью конечно-разностного метода в полной постановке. При этом локальное относительное расхождение по координате y профилей, полученных двумя способами, не превышало 5 %.

Числа Рейнольдса $\text{Re}_{\delta T} = \sqrt{\text{Re}_{xT}}$, определяющие начало зоны ЛТП, рассчитывались по следующей схеме. На первом этапе для заданного режима течения необходимо определить диапазон частот эволюционирующих в пространстве возмущений. Для практических задач это можно сделать несколькими способами [3, 4]. В настоящей работе использовался подход, обоснованный в [7]. Для двумерных пространственных и временных возмущений при условии малости затухания последних ($|\omega_i|^2 \ll 1$) показано, что с точностью до величин $O(|\omega_i|^2)$ имеют место соотношения

$$\omega_S = \omega_r, \quad \alpha_r = \alpha_T,$$

т. е. при одинаковых длинах волн диапазоны частот пространственных и временных возмущений совпадают. Поэтому для рассматриваемого режима строится кривая нейтральной устойчивости для наиболее неустойчивой моды Π временных возмущений в координатах $(\text{Re}_\delta, \omega_r)$. Необходимый частотный интервал определяется по нижней ветви кривой, на которой с равномерным шагом $\Delta\omega$ выбирается некоторое множество точек ω_{ri} , $i = 1, 2, \dots, m$.

Для каждой выбранной частоты рассчитывается кривая N -фактора $N_\omega(\text{Re}_\delta(x))$. Для этого на прямой $\omega_{ri} = \text{const}$ внутри области неустойчивости, выделяемой нейтральной кривой, выбирается множество точек с абсциссами $\text{Re}_{\delta j}$, $j = 1, 2, \dots, k$. В каждой точке решается спектральная задача для наиболее неустойчивой пространственной моды Π возмущений. В результате получаем набор локальных инкрементов (декрементов) нарастания α_{ij} , с использованием которых и квадратурной формулы вычисляется интеграл

$$N_\omega(\text{Re}_{\delta(x)}) = -2 \int_{\text{Re}_{\delta(x_0)}}^{\text{Re}_{\delta(x)}} \alpha_i^* d\text{Re}_{\delta(x)}, \quad \alpha_i^* = \alpha_i \sqrt{\frac{x\nu}{U}}, \quad (10)$$

рассматриваемый в качестве функции верхнего предела. Нижний предел $\text{Re}_{\delta(x_0)}$ соответствует абсциссе точки на нижней ветви нейтральной кривой.

Рассчитанные таким образом кривые N -факторов для частот $\omega_{r1} < \omega_{r2} < \dots < \omega_{rk}$ строятся на плоскости $(\text{Re}_{\delta(x)}, N_{\omega})$, и находится огибающая семейства. Искомое число Рейнольдса $\text{Re}_{\delta T}$, определяющее начало зоны ЛТП, находится как абсцисса огибающей при заданной величине фактора перехода N_T .

2. Результаты расчетов. Положение зоны перехода рассчитывалось для двух характерных режимов течения в сверхзвуковом пограничном слое со следующими граничными условиями стационарного потока.

Режим 1 (полет в невозмущенной атмосфере): колебательная температура на непроницаемой, теплоизолированной (адиабатической) стенке принималась равной температуре “пластинчатого термометра”, полагалось, что на условной верхней границе пограничного слоя статическая и колебательная температуры равны:

$$\varphi'(0) = 0, \quad T'_s(0) = 0, \quad T_{vs}(0) = 1 + (\gamma - 1) \text{Pr} M^2 / 2, \quad \varphi'(\delta) = 2, \quad T_s(\delta) = T_{vs}(\delta) = 1.$$

Режим 2 (эксперимент в сверхзвуковой аэродинамической трубе): колебательная температура на непроницаемой, охлажденной до температуры внешнего потока (изотермической) стенке принималась равной статической температуре, на условной верхней границе пограничного слоя колебательная температура равна температуре торможения (статической температуре в форкамере трубы):

$$\varphi'(0) = 0, \quad T_s(0) = T_{vs}(0) = 1, \quad \varphi'(\delta) = 2, \quad T_s(\delta) = 1, \quad T_{vs}(\delta) = 1 + (\gamma - 1) M^2 / 2.$$

Для нахождения локально-автомодельных решений система уравнений (9) приводилась к нормальной форме, для которой методом “стрельбы” с помощью процедуры Рунге — Кутты четвертого порядка на интервале $[0; \delta]$ решалась двухточечная краевая задача. Точкой “прицеливания” служила середина интервала $\zeta_c = \delta/2$, где требовалось совпадение значений вычисляемых величин с точностью до 10^{-8} . Расчеты проводились при следующих значениях параметров: $\gamma = 1,4$, $\gamma_v = 0; 0,667$, $\text{Pr} = 0,75$, $M = 4,5$, $\delta = 8$. Локально-автомодельные профили рассчитывались для продольной координаты $\xi \equiv x = 15$. При подстановке полученных профилей в систему (2)–(7) соответствующие естественные поперечные координаты находились по формуле

$$y = 2 \int_0^{\zeta} T_s(\zeta) d\zeta.$$

Все спектральные задачи для системы (2)–(7) решались численно в среде пакета Matlab на основе метода коллокаций, апробированного в работах [1, 6].

Для расчета N -факторов необходимо рассчитать нейтральные кривые временных возмущений в значительно больших пределах $(\text{Re}_{\delta}, \omega)$, чем это необходимо для нахождения значений Re_{cr} в [1]. Полученные для обоих режимов кривые для наиболее неустойчивой моды II представлены в полулогарифмических координатах на рис. 1, на котором также приведены значения частот для “невязких” возмущений как асимптотического предела при $\text{Re}_{\delta} \rightarrow \infty$. Критические значения частот ω_{cr} принимались в качестве верхнего предела частотных диапазонов для всех рассмотренных случаев. Соответственно для нижнего предела частот моды II использовался “невязкий” асимптотический предел моды I [1].

Для оценки положения начала зоны перехода Re_T было выбрано значение N -фактора $N_T = 8$, используемое для течений с низким уровнем внешних возмущений [3]. Поэтому для построения огибающих в каждом режиме выполнялся большой объем расчетов N -факторов. Нижние пределы $\text{Re}_{\delta(x_0)}$ в интегралах (10) брались на нижних ветвях нейтральных

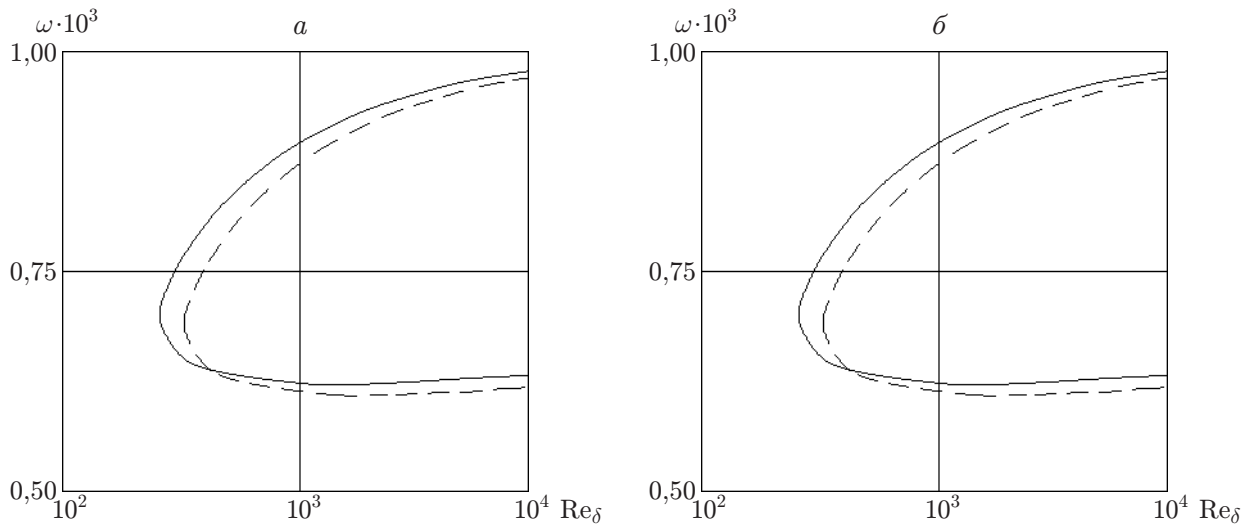


Рис. 1. Кривые нейтральной устойчивости моды II временных возмущений при значении числа Маха $M = 4,5$ для режимов 1 (а) и 2 (б): сплошные кривые — $\gamma_v = 0$, штриховые — $\gamma_v = 0,667$

Параметры точек ламинарно-турбулентного перехода при $N_T = 8$

Режим	γ_v	$Re_{xT} \cdot 10^{-7}$	$\varepsilon_T, \%$
1	0	2,382	—
	0,667	2,727	14,484
2	0	2,053	—
	0,667	2,348	14,369

кривых, начиная с Re_{cr} , с шагом $\Delta\omega = 10^{-8}$. Значения инкрементов (декрементов) пространственных возмущений α_i вычислялись на прямых $\omega = const$ с шагом $\Delta Re_\delta = 10$. Такой выбор шага позволил при многократных вычислениях интегралов (10) использовать простую квадратурную формулу трапеций и получить достаточно гладкие кривые N -факторов как функций Re_δ . При расчете каждой кривой значение верхнего предела Re_δ увеличивалось до тех пор, пока монотонное возрастание не менялось на убывание.

На рис. 2 для двух режимов представлены огибающие семейств N -факторов для моды II при $M = 4,5$, а также несколько кривых в окрестности точки (Re_T, N_T) .

На рис. 2,а для режима 1 в окрестностях точек A и A' показаны кривые $N(Re_x)$ для частот $\omega = 5,5 \cdot 10^{-4} \div 7,0 \cdot 10^{-4}$ при $\gamma_v = 0$ и $\omega = 5,2 \cdot 10^{-4} \div 6,7 \cdot 10^{-4}$ при $\gamma_v = 0,667$ соответственно. Для режима 2 на рис. 2,б в окрестностях точек B и B' приведены аналогичные кривые для частот $\omega = 5,9 \cdot 10^{-4} \div 7,4 \cdot 10^{-4}$ при $\gamma_v = 0$ и $\omega = 5,6 \cdot 10^{-4} \div 7,1 \cdot 10^{-4}$ при $\gamma_v = 0,667$. Для обоих режимов частоты увеличиваются с шагом $\Delta\omega = 10^{-8}$.

В таблице для всех рассмотренных случаев приведены значения полученных критериев Re_{xT} и рассчитанных по формуле

$$\varepsilon_T = \left| 1 - \frac{Re_{xT} |_{\gamma_v=0,667}}{Re_{xT} |_{\gamma_v=0}} \right| \cdot 100 \%$$

относительных сдвигов по числам Рейнольдса, обусловленных колебательным возбуждением газа. Во всех случаях начало зоны ламинарно-турбулентного перехода в колебательно-возбужденном газе сдвигается вниз по потоку приблизительно на 14 % по сравнению со случаем совершенного газа. Этот результат полностью коррелирует с ре-

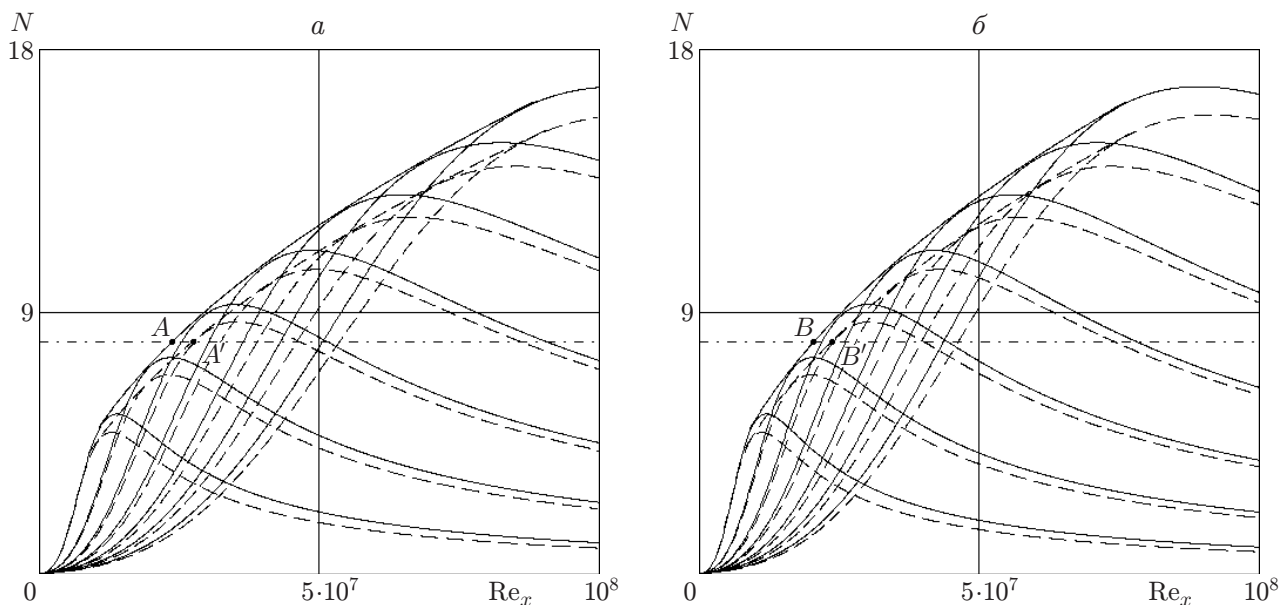


Рис. 2. Кривые N -факторов и положение зоны ламинарно-турбулентного перехода при значении числа Маха $M = 4,5$ для режимов 1 (а) и 2 (б): сплошные кривые — $\gamma_v = 0$, штриховые — $\gamma_v = 0,667$, штрихпунктирная — $N = 8$; A, B, A', B' — точки положения зоны перехода для режимов 1 и 2 при $\gamma_v = 0; 0,667$ соответственно

результатами работ [1, 2], в которых показано, что при колебательном возбуждении приблизительно в той же пропорции увеличивается рассчитанное в рамках линейной теории критическое число Рейнольдса.

Заключение. В работе с использованием e^N -метода выполнены сравнительные расчеты положения начала зоны ламинарно-турбулентного перехода в колебательно-возбужденном и совершенном газах. Рассмотрены два характерных режима течения сверхзвукового пограничного слоя при $M = 4,5$, представляющие практический интерес. Значение N -фактора, определяющего ламинарно-турбулентный переход, выбрано равным $N_T = 8$ и рекомендуется для случая потоков с малым уровнем внешних возмущений. Частотный спектр пространственных возмущений определялся по нейтральным кривым временных возмущений при одинаковых значениях длин волн. По рассчитанным кривым N -факторов строились огибающие, по которым при заданном $N_T = 8$ определялись числа Рейнольдса перехода Re_{xT} . Результаты расчетов показали, что во всех случаях колебательное возбуждение приводит к сдвигу зоны ламинарно-турбулентного перехода вниз по потоку приблизительно на 14 % по сравнению со случаем совершенного газа. Этот результат согласуется с полученными ранее данными о характере влияния колебательного возбуждения на значения критического числа Рейнольдса.

ЛИТЕРАТУРА

1. Григорьев Ю. Н., Ершов И. В. Линейная устойчивость сверхзвукового пограничного слоя релаксирующего газа на пластине // Изв. РАН. Механика жидкости и газа. 2019. № 3. С. 3–15.
2. Григорьев Ю. Н., Ершов И. В. Асимптотическая оценка устойчивости сверхзвукового пограничного слоя в колебательно-возбужденном газе на пластине // Прикл. математика и механика. 2019. Т. 83, вып. 5/6. С. 749–769.

3. **Mack L. M.** A numerical method for the prediction of high-speed boundary-layer transition using linear theory // Aerodynamic analyses requiring advanced computers. Washington: NASA, 1975. Pt 1. P. 101–123.
4. **Бойко А. В., Демьянко К. В., Нечепуренко Ю. М.** О расчете положения ламинарно-турбулентного перехода в пограничных слоях с учетом сжимаемости. М., 2015. (Препр. / Ин-т прикл. математики им. М. В. Келдыша РАН; № 81).
5. **Григорьев Ю. Н., Горобчук А. Г., Ершов И. В.** Расчеты сверхзвукового пограничного слоя в полной и локально-автомодельной постановках // Вычисл. технологии. 2020. Т. 25, № 2. С. 50–62.
6. **Григорьев Ю. Н.** Устойчивость течений релаксирующих молекулярных газов / Ю. Н. Григорьев, И. В. Ершов. Новосибирск: Изд-во СО РАН, 2012.
7. **Gaster M.** A note on the relation between temporally-increasing and spatially-increasing disturbances in hydrodynamic stability // J. Fluid Mech. 1962. V. 14. P. 222–224.

*Поступила в редакцию 15/IV 2020 г.,
после доработки — 26/V 2020 г.
Принята к публикации 29/VI 2020 г.*
